

A9 - Tunnels Eyholz
Röhre Nord

(W)

Gugla

Ende Sprengvortrieb

TM 3'663.7
km 146'508.7

30.04.2012
TM 3'195.2
km 146'040.2

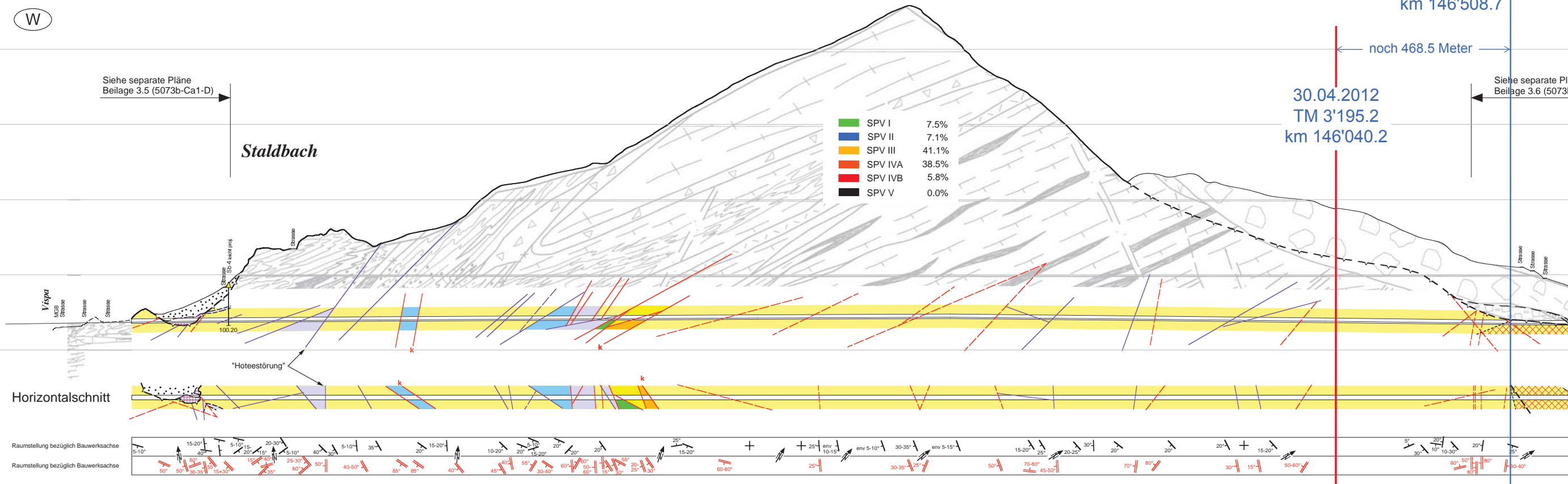
noch 468.5 Meter

Siehe separate Pläne
Beilage 3.5 (5073b-Ca1-D)

Siehe separate Pläne
Beilage 3.6 (5073b-Ca1-E)

Staldbach

| | |
|---------|-------|
| SPV I | 7.5% |
| SPV II | 7.1% |
| SPV III | 41.1% |
| SPV IVA | 38.5% |
| SPV IVB | 5.8% |
| SPV V | 0.0% |

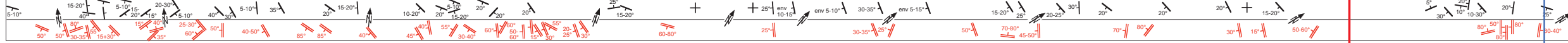


LEGENDE

- Bruch, Verwerfung
- Wichtige tektonische Störung (verkarstet)
- Wichtige tektonische Störung mit Karint

Horizontalschnitt

Raumstellung bezüglich Bauwerksachse



Verzweigung

BERMERKUNGEN:

Abgrenzung der Teilstrecken auf Scheitelebene

Die Zahlen entsprechen allen im Teilschnitt vorhandenen Gesteinstypen, die Farbe entspricht dem massgebenden Wert

| | | | | | | | | | | | | | | | | | | | | |
|---|---|---------|---------|---------|---------|---------|---------|---------|---------|---------|-------|-------|------|-------|-------|------|-------|------|------|------|
| Kilometrierung projekt | 142.837 | 143.044 | 143.324 | 143.500 | 144.000 | 144.500 | 145.000 | 145.500 | 146.000 | 146.500 | | | | | | | | | | |
| Tunnelmeter (TM) [m] | 80 | 155 | 205 | 465 | 500 | 765 | 1'000 | 1105 | 1290 | 1390 | 1'500 | 2'000 | 2135 | 2'500 | 3'000 | 3280 | 3'500 | 3675 | 3690 | |
| Felsüberlagerung [m] (ACHSE ROHR) | 25 | 10 | 80 | 185 | 185 | 235 | 185 | 250 | 350 | 400 | 650 | 820 | 600 | 355 | 380 | 380 | 355 | 290 | 140 | |
| Abschnitt | EN1 | EN2 | EN3 | EN4 | EN5 | EN6 | EN7 | EN8 | EN9 | EN10 | EN11 | EN12 | EN13 | EN14 | EN15 | EN16 | EN17 | EN18 | EN19 | EN20 |
| Abschnittlänge [m] | 77 | 50 | 55 | 25 | 280 | 30 | 245 | 340 | 185 | 100 | 745 | 1145 | 395 | | | | | | | |
| GEOLOGISCHE EINHEIT | Zone von Sion - Courmayeur undifferenziert (Versuppt) Hotee - Einheit Einheiten von St-Christophe ? Hotee-Einheit Fäldbachzone Rosswaldserie | | | | | | | | | | | | | | | | | | | |
| GESTEINSART | Kalkglimmerschiefer und Schiefer Abwechslung von massiven Arkosen und Kalkglimmerschiefern mit zahlreichen feinen quarzitären Zwischenlagen Marmor Kalkglimmerschiefer mit Zwischenlagen dunkler Schiefer Marmor, Knollige und graphitische schwarze Schiefer, Kalkglimmerschiefer, Arkosen Prasinite, Kalkglimmerschiefer, und Dolomite Kalkglimmerschiefer, Arkosen und ± knollige phyllitische Schiefer | | | | | | | | | | | | | | | | | | | |
| ZUSTAND | Deutliche Tendenz zur Aufblätterung, besonders in den schwarzen Schiefen; zahlreiche verschiedentlich orientierte wichtige tektonische Störungen. Örtlich elastische Entspannung in den schieferigen Sequenzen (Verschiebungen entlang schieferiger Lagen) Örtliche Tendenz zur Aufblätterung; isolierte wichtige tektonische Störungen. Lokal elastische Entspannung mit Verschiebungen entlang schieferiger Lagen. Tendenz zur Aufblätterung; wichtige tektonische Störungen. Deutliche elastische Entspannung ("druckhaftes Gebirge") mit Verschiebungen entlang schieferiger Lagen. Örtliche Tendenz zur Aufblätterung; isolierte wichtige tektonische Störungen. Lokal elastische Entspannung mit Verschiebungen entlang schieferiger Lagen. | | | | | | | | | | | | | | | | | | | |
| Gehalt an harten Mineralien Ritzhärte (H _{z7}) [%] | A | | | | | | | | | | | | | | | | | | | |
| Gehalt an weichen Mineralien Ritzhärte (H ₋₃) [%] | B | | | | | | | | | | | | | | | | | | | |
| Quellpotential (p / ε) | C | | | | | | | | | | | | | | | | | | | |
| Verhalten bei Wasserzutritt | D | | | | | | | | | | | | | | | | | | | |
| Einaxiale Zylinderdruckfestigkeit [MPa] | E | | | | | | | | | | | | | | | | | | | |
| Strukturanisotropie | F | | | | | | | | | | | | | | | | | | | |
| Abstand der effektiven Trennflächen [m] | G | | | | | | | | | | | | | | | | | | | |
| Reibungswinkel in Schichtbzw. Schieferungsfugen [°] | I | | | | | | | | | | | | | | | | | | | |
| Kohäsion in Schichtbzw. Schieferungsfugen [MPa] | J | | | | | | | | | | | | | | | | | | | |
| Raumstellung bezüglich Bauwerksachse | H | | | | | | | | | | | | | | | | | | | |
| Raumstellung bezüglich Bauwerksachse | L | | | | | | | | | | | | | | | | | | | |

